

Отчёт о работе  
по вычислительной математике и численным методам

Задание:

Найти тремя нижеуказанными способами численное решение начально-краевой задачи для уравнения теплопроводности

$$\frac{\partial u}{\partial t} = D \frac{\partial^2 u}{\partial x^2} + Q(x, t) \quad (1)$$

где  $Q(x, t)=0$ ,  $D = \frac{l^2}{\tau}$ ,

на отрезке  $[0, l]$  с краевыми условиями вида

$$\begin{aligned} l \frac{\partial u}{\partial x}(0, t) - u(0, t) &= 1 \\ l \frac{\partial u}{\partial x}(l, t) &= 0 \end{aligned} \quad (2)$$

с начальными условиями вида

$$u(x, 0) = \begin{cases} 1, & \left| x - \frac{2l}{3} \right| < \frac{l}{10} \\ 0, & \left| x - \frac{2l}{3} \right| > \frac{l}{10} \end{cases} \quad (3)$$

с относительной точностью  $\varepsilon \sim 0.01$ .

Обосновать выбор параметров численного метода.

Методы решения:

1. Построить методом Фурье представление задачи в виде ряда по собственным функциям. Численно найти собственные значения и сумму ряда с заданной точностью. Определить необходимое число суммируемых членов для достижения заданной точности.
2. Построить разностную аппроксимацию задачи на стандартной равномерной по  $x$  и  $t$  сетке с учетом граничных условий. Решить соответствующую разностную задачу явным методом Эйлера. Оценить значения параметров сетки, необходимые для достижения заданной точности, используя информацию, полученную в результате выполнения первого задания.
3. Решить разностную задачу методом Кранка-Николсона, применив метод прогонки для обращения трёхдиагональной матрицы. Оценить значения численных параметров. Провести сравнение результатов расчётов, объяснить различия.

Результаты представлены в виде графиков зависимости решения  $u(x, t^*)$  от координаты  $x$  при заданных значениях времени  $t^*=2\tau$  и  $5\tau$ ; так же  $u(x^*, t)$  от времени  $t$  при заданном значении координаты  $x^*=2l/3$  на заданном интервале времени  $[0, 5\tau]$  для каждого из указанных методов расчёта.

## 1.Метод Фурье

### 1.1.Получение аналитического решения.

Сначала избавимся от неоднородности граничных условий, представив решение в виде  $u = v + w$ , где  $w(x, t) = w_1(x, t) + xw_2(x, t)$ , удовлетворяющее неоднородным граничным условиям. Подставим её в (2):

$$\begin{cases} lw_2 - w_1 = 1 \\ w_2 = 0 \end{cases}, \text{откуда находим } w = -1$$

Подставив  $u = v + w$  в исходное уравнение и начальные условия, начально-краевую задачу на  $v$ :

$$\frac{\partial v}{\partial t} = D \frac{\partial^2 v}{\partial x^2} \quad (4)$$

$$v(x, 0) = \begin{cases} 2, & \left| x - \frac{2l}{3} \right| < \frac{l}{10} \\ 1, & \left| x - \frac{2l}{3} \right| > \frac{l}{10} \end{cases} \quad (5)$$

С однородными граничными условиями:

$$l \frac{\partial v}{\partial x}(0, t) - v(0, t) = 0$$

$$l \frac{\partial v}{\partial x}(l, t) = 0 \quad (6)$$

Найдем частное решение однородного уравнения (4) в виде:

$$v(x, t) = X(x)T(t) \quad (7)$$

Подставим в (4):

$$XT' = DTX''$$

$$\frac{X''}{X} = \frac{T'}{DT} = -\lambda \quad (8)$$

Так как  $\frac{X''}{X}$  зависит только от  $x$ , а  $\frac{T'}{DT}$  — только от  $t$ . Мы получили уравнение

$$X'' + \lambda X = 0 \quad (9)$$

С граничными условиями вида

$$lX'(0) - X(0) = 0 \quad (10)$$

$$X'(l) = 0$$

Определим знак  $\lambda$ , для чего домножим скалярно на  $X$  и проинтегрируем по частям:

$$\int_0^l XX'' dx + \lambda \int_0^l X^2 dx = XX' \Big|_0^l - \int_0^l X'^2 dx + \lambda \int_0^l X^2 dx = -\frac{1}{l} X^2(0) - \int_0^l X'^2 dx + \lambda \int_0^l X^2 dx = 0$$

$$\lambda = \frac{\frac{1}{l} X^2(0) + \|X'\|^2}{\|X\|^2} > 0$$

Общее решение (9)  $X = c_1 \cos \sqrt{\lambda} x + c_2 \sin \sqrt{\lambda} x$  подставим в граничные условия (10):

$$\begin{cases} l\sqrt{\lambda}c_2 - c_1 = 0 \\ -c_1 \sin \sqrt{\lambda} l + c_2 \cos \sqrt{\lambda} l = 0 \end{cases}$$

$$\operatorname{tg} \sqrt{\lambda} l = \frac{1}{\sqrt{\lambda} l}$$

Обозначим  $\sqrt{\lambda} l = y$ . Уравнение  $\operatorname{tg}(y) = \frac{1}{y}$  можно решить графически, рис. 1:

(а из соответствующей монотонности  $\operatorname{tg}(y) - \frac{1}{y}$  на промежутках видно, что можно решить численно двоичным поиском).

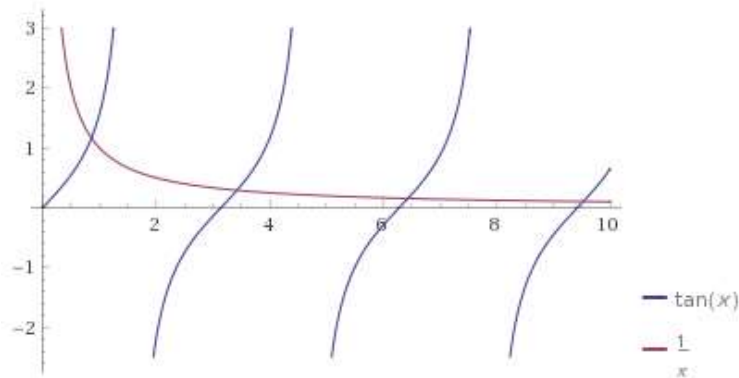


Рис. 1.

Данное уравнение имеет бесконечно много решений,  $k$ -ое находится в интервале  $(\pi k, \pi k + \pi/2)$ ,  $k=0, 1, \dots$

$$\sqrt{\lambda_k} l \rightarrow \pi k, \quad \lambda_k \sim k^2 \text{ при } k \rightarrow \infty$$

Обозначим  $y_k = \sqrt{\lambda_k} l$  эти решения.

$$X_k = \cos \sqrt{\lambda_k} x \cos \sqrt{\lambda_k} l + \sin \sqrt{\lambda_k} x \sin \sqrt{\lambda_k} l = \cos \sqrt{\lambda_k} (x - l)$$

Найдем квадрат нормы  $X_k$ :

$$\begin{aligned} \|X_k\|^2 &= \int_0^l X_k^2 dx = \int_0^l (\cos \sqrt{\lambda_k} (x - l))^2 dx = \int_0^l \frac{1 + \cos 2\sqrt{\lambda_k} x}{2} dx = \frac{l}{2} + \frac{1 + \sin 2\sqrt{\lambda_k} (x - l)}{4\sqrt{\lambda_k}} \Big|_0^l \\ &= \frac{l}{2} + \frac{\sin 2\sqrt{\lambda_k} l}{4\sqrt{\lambda_k}} = \frac{l}{2} + \frac{l \sin \sqrt{\lambda_k} l \cos \sqrt{\lambda_k} l}{2\sqrt{\lambda_k} l} = \frac{l}{2} (1 + \sin^2 \sqrt{\lambda_k} l) = \|X_k\|^2 \\ \|X_k\|^2 &= \frac{l}{2} (1 + \sin^2 y_k) \quad (11) \end{aligned}$$

Пусть  $v(x, t)$  - решение уравнения (4) с однородными граничными условиями. Разложим его по собственным функциям оператора Штурма-Лиувилля  $\{X_k\}_{k=1}^\infty$ :

$$v(x, t) = \sum_{k=1}^{\infty} T_k(t) X_k(x)$$

Подставив в уравнение, для  $T_k(t)$  получим:

$$T_k' + \lambda_k D T_k = 0$$

$$T_k = A_k e^{-D\lambda_k t}$$

$$v(x, t) = \sum_{k=1}^{\infty} A_k e^{-D\lambda_k t} \cos \sqrt{\lambda_k} (x - l)$$

Коэффициенты  $A_k$  найдем из начального условия (5):

$$v(x, 0) = \sum_{k=1}^{\infty} A_k \cos \sqrt{\lambda_k} (x - l) = \sum_{k=1}^{\infty} A_k X_k(x) = \varphi(x)$$

$$A_k = \frac{1}{\|X_k\|^2} \int_0^l \varphi(x) X_k(x) dx$$

$$\begin{aligned} \int_0^l \varphi(x) X_k(x) dx &= \int_0^{17l/30} \cos \sqrt{\lambda_k} (x - l) dx + \int_{23l/30}^l \cos \sqrt{\lambda_k} (x - l) dx + \int_{17l/30}^{23l/30} 2 \cos \sqrt{\lambda_k} (x - l) dx = \\ &= \int_0^l \cos \sqrt{\lambda_k} (x - l) dx + \int_{17l/30}^{23l/30} \cos \sqrt{\lambda_k} (x - l) dx = \frac{\sin \sqrt{\lambda_k} l}{\sqrt{\lambda_k}} + \frac{\sin \left( \frac{13}{30} \sqrt{\lambda_k} l \right) - \sin \left( \frac{7}{30} \sqrt{\lambda_k} l \right)}{\sqrt{\lambda_k}} = \\ &= \frac{\sin \sqrt{\lambda_k} l}{\sqrt{\lambda_k}} + \frac{2 \sin \left( \frac{l}{10} \sqrt{\lambda_k} \right) \cos \left( \frac{l}{3} \sqrt{\lambda_k} \right)}{\sqrt{\lambda_k}} \end{aligned}$$

Тогда, с учетом (11):

$$\begin{aligned} A_k &= \frac{2 \left( \sin \sqrt{\lambda_k} l + 2 \sin \left( \frac{l}{10} \sqrt{\lambda_k} \right) \cos \left( \frac{l}{3} \sqrt{\lambda_k} \right) \right)}{l \sqrt{\lambda_k} (1 + \sin^2 \sqrt{\lambda_k} l)} = \frac{2 \left( \frac{\cos \sqrt{\lambda_k} l}{\sqrt{\lambda_k} l} + 2 \sin \left( \frac{l}{10} \sqrt{\lambda_k} \right) \cos \left( \frac{l}{3} \sqrt{\lambda_k} \right) \right)}{l \sqrt{\lambda_k} (1 + \sin^2 \sqrt{\lambda_k} l)} \\ v(x, t) &= \sum_{k=1}^{\infty} \frac{2}{l \sqrt{\lambda_k} (1 + \sin^2 \sqrt{\lambda_k} l)} \left( \frac{\cos \sqrt{\lambda_k} l}{\sqrt{\lambda_k} l} + 2 \sin \left( \frac{l}{10} \sqrt{\lambda_k} \right) \cos \left( \frac{l}{3} \sqrt{\lambda_k} \right) \right) e^{-D\lambda_k t} \cos(\sqrt{\lambda_k} (x - l)) \\ v(x, t) &= \sum_{k=1}^{\infty} \frac{2}{y_k (1 + \sin^2 y_k)} \left( \frac{\cos y_k}{y_k} + 2 \sin \left( \frac{y_k}{10} \right) \cos \left( \frac{y_k}{3} \right) \right) e^{-\frac{y_k^2}{\tau} t} \cos \left( \frac{y_k}{l} (x - l) \right) \end{aligned}$$

С учетом неоднородности граничных условий,

$$u(x, t) = \sum_{k=1}^{\infty} \frac{2}{y_k (1 + \sin^2 y_k)} \left( \frac{\cos y_k}{y_k} + 2 \sin \left( \frac{y_k}{10} \right) \cos \left( \frac{y_k}{3} \right) \right) e^{-\frac{y_k^2}{\tau} t} \cos \left( \frac{y_k}{l} (x - l) \right) - 1$$

## 1.2. Оценка необходимого числа членов ряда

Необходимая точность вычисления ряда  $\varepsilon \sim 0,01$ . С помощью оценки остатка ряда оценим число членов ряда.

Оценим количество суммирований при  $x \in [0, 1], t = 2\tau, t = 5\tau$ , и отдельно при  $x = 2l/3, t \in [0, 5\tau]$ .

1)  $x \in [0, 1]; t = 2\tau, t = 5\tau$

Обозначим  $C_k(x) = \frac{2 \cos\left(\frac{y_k(x-l)}{l}\right) \left(\sin y_k + 2 \sin\left(\frac{y_k}{10}\right) \cos\left(\frac{y_k}{3}\right)\right)}{y_k(1 + \sin^2 y_k)}$  (множитель перед exp)

Оценим его сверху:

$$|C_k| \leq \frac{2}{y_k(1 + \sin^2 y_k)} \left( \frac{\cos y_k}{y_k} + 2 \sin\left(\frac{y_k}{10}\right) \cos\left(\frac{y_k}{3}\right) \right) \leq \frac{2}{y_k(1 + \sin^2 y_k)} \left( \frac{1}{y_k} + 2 \right) \leq \frac{2(1 + 2y_k)}{y_k^2} = \gamma_k$$

Последовательность  $\gamma_k$  убывающая, следовательно  $\gamma_k \leq \gamma_0$ .

Оценим  $y_0: tg\left(\frac{\pi}{4}\right) = 1 < \frac{4}{\pi}, tg\left(\frac{\pi}{3}\right) = \sqrt{3} > \frac{3}{\pi} \Rightarrow \frac{\pi}{4} < y_0 < \frac{\pi}{3}$

Тогда  $\gamma_0 \leq \frac{2\left(1 + \frac{2\pi}{3}\right)}{\pi^2} \cdot 16 \approx 10$

Учитывая, что  $\pi k < y_k < \pi k + \pi/2$ , и  $\gamma_k \leq \gamma_0$ , оценим остаток ряда:

$$\sum_{k=k_0}^{\infty} C_k e^{-\frac{y_k^2}{\tau} t} \leq \gamma_0 \sum_{k=k_0}^{\infty} e^{-\frac{(\pi k)^2}{\tau} t} \approx 10 \sum_{k=k_0}^{\infty} e^{-\frac{(\pi k)^2}{\tau} t} < 10 \sum_{n=k_0^2}^{\infty} e^{-\frac{\pi^2 n}{\tau} t} = 10 e^{-\frac{\pi^2 k_0^2}{\tau} t} \frac{1}{1 - e^{-\frac{\pi^2}{\tau} t}}$$
$$10 e^{-\frac{\pi^2 k_0^2}{\tau} t} \frac{1}{1 - e^{-\frac{\pi^2}{\tau} t}} < 10 e^{-\frac{\pi^2 k_0^2}{\tau} t}$$

Оценим остаток ряда для  $k_0 = 1$ :

Для  $t = 2\tau$ :  $10 e^{-\frac{\pi^2 k_0^2}{\tau} t} = 10 e^{-2\pi^2} \sim 2,7 \cdot 10^{-8} \ll \varepsilon$

Для  $t = 5\tau$  неравенство  $\sum_{k=1}^{\infty} |C_k| e^{-\frac{y_k^2}{\tau} t} \leq \varepsilon$  тем более выполнено.

Значит, для  $x \in [0, 1]; t = 2\tau, t = 5\tau$  необходимое число суммирований:  $N=1$ .

2)  $x = 2l/3, t \in [0, 5\tau]$ .

$$v\left(\frac{2l}{3}, t\right) = \sum_{k=1}^{\infty} \frac{2}{y_k(1 + \sin^2 y_k)} \left( \frac{\cos y_k}{y_k} + 2 \sin\left(\frac{y_k}{10}\right) \cos\left(\frac{y_k}{3}\right) \right) e^{-\frac{y_k^2}{\tau} t} \cos \frac{y_k}{3}$$

Так как exp дает быструю сходимость ряда, то наибольшая ошибка вычислений будет при  $t = 0$ .

$$v\left(\frac{2l}{3}, t\right) < v\left(\frac{2l}{3}, 0\right) = \sum_{k=1}^{\infty} \frac{2}{y_k(1 + \sin^2 y_k)} \left( \frac{\cos y_k}{y_k} + 2 \sin\left(\frac{y_k}{10}\right) \cos\left(\frac{y_k}{3}\right) \right) \cos \frac{y_k}{3}$$

Учитывая, что  $y_k \sim \pi k$ , остаток ряда можно оценить с помощью суммы интегралов :

$$\int_N^{\infty} \frac{\cos\left(\frac{4\pi x}{3}\right) + \cos\left(\frac{2\pi x}{3}\right)}{(\pi x)^2} dx + \int_N^{\infty} \frac{\sin\left(\frac{23\pi x}{30}\right) + 2\sin\left(\frac{\pi x}{10}\right) - \sin\left(\frac{17\pi x}{30}\right)}{\pi x} dx < \varepsilon$$

Значение первого выражения  $\ll$  второго, поэтому для оценки можно взять

$$\int_N^{\infty} \frac{\sin\left(\frac{23\pi x}{30}\right) + 2\sin\left(\frac{\pi x}{10}\right) - \sin\left(\frac{17\pi x}{30}\right)}{\pi x} dx < \varepsilon$$

Получаем, что необходимое для достижения заданной точности число суммирований:  
 $N \sim 50$

### 1.3. Оценка шагов.

Теперь оценим шаг по  $x$  для вычисления температуры в разных точках стержня для фиксированных моментов времени.

Для достаточной точности вычисления нужно чтобы на период функции  $X_N = \cos \sqrt{\lambda_N} (x - l)$  (где  $N$ -требуемое кол-во суммирований) было хотя бы 10 точек по  $x$ :

$$\Delta x \sim \frac{2\pi}{10\sqrt{\lambda_N}}$$

Учитывая, что наибольшее количество суммирований  $\sim 50$ , а  $\sqrt{\lambda_N} \sim \pi N$ , получаем:

$$\Delta x \sim 0,004$$

То есть по  $x$  требуется  $n_x = 250$  шагов.

Далее, оценим число шагов по времени для фиксированного  $x$ :  $|D\lambda_k \Delta t| < 1$

$$\Delta t \sim \frac{1}{\lambda_k} \sim \frac{1}{(\pi k)^2} \approx 0,00004$$

Тогда, с учетом того, что наибольшее время равно  $5\tau$ :  $n_t \approx 125000$ .

Шаг по  $x$  будет использоваться и в методах Эйлера и Кранка-Николсона, а шаг по времени для этих методов будет другой: он будет получен из критерия Куранта устойчивости метода Эйлера.

Для метода Эйлера получили (см. п. (2)),  $n_t \approx 1250000$ , поэтому при написании программы воспользуемся количеством шагов по времени из метода Эйлера для того, чтобы потом можно было построить разность получившихся разными методами графиков.

### 1.4. Оценка точности вычисления $\lambda_k$

По рис.1 видно, что трансцендентное уравнение на собственные значения можно решить двоичным поиском. Оценим точность, с которой требуется вычислить значения  $\sqrt{\lambda_k}$ . Так как во всех выражениях  $\sqrt{\lambda_k}$  умножается либо на  $t$ , либо на  $x$ , точность их вычисления должна быть не меньше, чем наименьшая ошибка:  $\delta = \frac{\Delta t}{5\tau} \sim 2 \cdot 10^{-6}$

## 2. Явный метод Эйлера

Сделаем масштабное преобразование координаты и времени:  $x \rightarrow \frac{x}{l}, t \rightarrow \frac{t}{\tau}$

Аппроксимируем функцию  $u(x, t)$  в некоторый момент времени  $t_0$  ее значениями  $u(x_k, t_0)$  в точках между узлами таблицы  $x_k = h \left(k + \frac{1}{2}\right), k = 0 \dots n_x - 1, h = \frac{l}{n_x}$ .

Тогда первую производную в средней точке  $\hat{x}_k = kh$  можно аппроксимировать как

$$\frac{\partial u}{\partial x}(\hat{x}_k, t_0) \approx \frac{u(x_{k+1}, t_0) - u(x_k, t_0)}{h}$$

Вторая производная в точке  $x_k$  может быть аппроксимирована как

$$\frac{\partial^2 u}{\partial x^2}(x_k, t_0) \approx \frac{1}{h^2} (u(x_{k+1}, t_0) - 2u(x_k, t_0) + u(x_{k-1}, t_0))$$

Определим значения функции  $u(x_{-1}, t_0)$  и  $u(x_N, t_0)$  из граничных условий:

$$u(0, t) = \frac{u(x_{-1}, t) + u(x_0, t)}{2}, \quad \frac{\partial u}{\partial x}(0, t) = \frac{u(x_0, t) - u(x_{-1}, t)}{h}$$

Обозначим  $u(x_k, t) = u_k$ . Подставим в граничные условия:

$$\begin{cases} \frac{1}{h}(u_0 - u_{-1}) = 1 + \frac{1}{2}(u_{-1} + u_0) \\ u_{n_x} = u_{n_x-1} \end{cases}$$

$$u_{-1} = \frac{u_0(2 - h) - 2h}{2 + h}, \quad u_N = u_{N-1}$$

$$\frac{\partial^2 u}{\partial x^2}(x_0, t_0) \approx \frac{u_1}{h^2} - \frac{u_0(2 + 3h)}{h^2(2 + h)}$$

$$\frac{\partial^2 u}{\partial x^2}(x_{n_x-1}, t_0) \approx \frac{-u_{n_x-1} - u_{n_x-2}}{h^2}$$

Здесь  $h$  - параметр задачи, задаваемый числом шагов  $n_x$ .

Таким образом можно построить конечномерную аппроксимацию оператора Штурма-Лиувилля  $L = \frac{d^2}{dx^2}$  с граничными условиями (2).

Аппроксимация оператора  $\frac{\partial^2}{\partial x^2}$ :

$$\frac{\partial^2 u}{\partial x^2}(x_k, t) \approx \frac{1}{h^2} (u_{k+1} - 2u_k + u_{k-1})$$

Тогда само уравнение в векторной форме может быть переписано в виде ( $u$  - вектор из значений функции  $u(x_k, t)$ ):

$$\frac{du}{dt} = Au + B \quad (12)$$

$$u(x_k, 0) = \varphi(x_k)$$

$\varphi(x_k)$ -таблица функции, описывающей начальные условия.

$A$ -матрица оператора, аппроксимирующего оператор  $\frac{\partial^2}{\partial x^2}$ .

$$A = \frac{1}{h^2} \begin{pmatrix} \frac{-(2+3h)}{2+h} & 1 & 0 & \dots & 0 & \dots & 0 \\ 1 & -2 & 1 & \dots & \vdots & & \\ 0 & 1 & -2 & \ddots & \vdots & & \\ \vdots & & & \ddots & -2 & 1 & 0 \\ \vdots & & & & 1 & -2 & 1 \\ 0 & \dots & 0 & & 0 & 1 & -1 \end{pmatrix}, \quad B = \frac{-2}{h(2+h)} \begin{pmatrix} 1 \\ 0 \\ \vdots \\ 0 \end{pmatrix}$$

Уравнение (12) в интегральной форме:

$$u(t + \Delta t) = u(t) + \int_t^{t+\Delta t} (Au(\tau) + B)d\tau = u(t) + \int_t^{t+\Delta t} Au(\tau)d\tau + B\Delta t$$

Вычислим интеграл приближенно по формуле прямоугольников:

$$u(t + \Delta t) = u(t) + \int_t^{t+\Delta t} Au(\tau)d\tau + B\Delta t = u(t) + (Au(t) + B)\Delta t + O(\Delta t^2)$$

$$u(t + \Delta t) = (E + A\Delta t)u(t) + O(\Delta t^2)$$

Если применить оператор  $(E + A\Delta t)$  к собственному вектору матрицы  $A$ , получим:

$$u_\lambda(t + \Delta t) = u_\lambda(t) + \lambda\Delta t u_\lambda(t)$$

Если применить  $m$  раз:

$$u_\lambda(m\Delta t) = u_\lambda(0)(1 + \lambda\Delta t)^m$$

Откуда получаем условие устойчивости метода Эйлера:  $|1 + \lambda\Delta t| < 1$

$$|\Delta t| < \frac{2}{\max|\lambda|}$$

Где  $\max|\lambda|$ -модуль наибольшего собственного значения аппроксимирующего оператора.

Это называется условием Куранта.

Для аппроксимирующего оператора  $\max|\lambda| \sim \frac{4}{h^2}$ , тогда  $\Delta t < \frac{h^2}{2}$ .

В данном случае, если по  $x$  имеем  $n_x = 250$  точек, получаем шаг по времени  $\Delta t \leq 8 \cdot 10^{-6}$ . Для  $t = 5\tau$  возьмем  $n_t = 5 \cdot 4 \cdot 250 \cdot 250 = 1250000$  шагов по  $t$ .



### 3. Метод Кранка-Николсона

Используем аппроксимацию, которую использовали в явном методе Эйлера в методе Кранка-Николсона.

$$u(t + \Delta t) = u(t) + \int_t^{\Delta t} (Au(\tau) + B)d\tau$$

В методе Кранка-Николсона интеграл аппроксимируется по формуле трапеций:

$$\int_t^{\Delta t} f(\tau)d\tau = \Delta t \left( \frac{f(t) + f(t + \Delta t)}{2} \right) + O(\Delta t^3)$$

$$\begin{aligned} u(t + \Delta t) &= u(t) + \int_t^{\Delta t} (Au(\tau) + F(\tau))d\tau = \\ &= u(t) + \frac{\Delta t}{2} (Au(t) + Au(t + \Delta t)) + \frac{\Delta t}{2} (F(t) + F(t + \Delta t)) + O(\Delta t^3) \\ \left( E - \frac{\Delta t}{2} A \right) u(t + \Delta t) &= \left( E + \frac{\Delta t}{2} A \right) u(t) + \frac{\Delta t}{2} (F(t) + F(t + \Delta t)) + o(\Delta t^3) \end{aligned}$$

В нашей задаче  $F(t) = B = const.$  Тогда получим:

$$\left( E - \frac{\Delta t}{2} A \right) u(t + \Delta t) \approx \left( E + \frac{\Delta t}{2} A \right) u(t) + B$$

Метод Кранка-Николсона для этого уравнения:

- 1)  $g = \left( E + \frac{\Delta t}{2} A \right) u(t) + B$  за  $O(N)$
- 2)  $\left( E - \frac{\Delta t}{2} A \right) G \approx g \Rightarrow G$  методом прогонки за  $O(N)$
- 3)  $u(t + \Delta t) = G$

Зная  $u(t)$ , можно вычислить значение выражения справа за линейное число операций, поскольку  $A$  - трехдиагональная матрица. С известным правым значением, данное равенство является системой линейных уравнений с трехдиагональной матрицей, которую можно решить методом прогонки за  $\sim N$  операций (вместо того, чтобы искать обратную матрицу).

Этот метод неявный, т.к. на каждом шаге решается система линейных уравнений.

Так как метод Кранка-Николсона является устойчивым, для вычислений, для сравнения можно взять те же оценки шагов по  $x$  и  $t$ , как и в методе Эйлера.

#### 3.1. Метод прогонки для трехдиагональной матрицы.

$$Ax = g, \text{ где } A = \begin{pmatrix} a_1 & b_1 & \dots & 0 \\ c_1 & a_2 & & \\ \vdots & \ddots & & \vdots \\ 0 & \dots & a_{n-1} & b_{n-1} \\ & & c_{n-1} & a_n \end{pmatrix}.$$

$$\begin{cases} a_1x_1 + b_1x_2 = g_1 \\ \dots \\ c_{k-1}x_{k-1} + a_kx_k + b_kx_{k+1} = g_k, \quad k = 2, \dots, n-1 \\ \dots \\ a_1x_1 + b_1x_2 = g_n \end{cases}$$

Дополним эту систему уравнениями:  $x_k = qx_{k+1} + p_k$ ,  $k = 2, \dots, n-1$ , так, чтобы решение исходной системы совпадало с решением расширенной и наоборот. Требование метода на матрицу A:  $a_1 \neq 0$ .

Первое уравнение исходной системы:  $x_1 = -\frac{b_1}{a_1}x_2 + \frac{g_1}{a_1}$  должно совпадать с первым добавленным:  $q_1 = -\frac{b_1}{a_1}$ ,  $p_1 = \frac{g_1}{a_1}$ .

Подставим  $x_{k-1}$  из добавленных уравнений в k-е уравнение исходной системы:

$$c_{k-1}(q_{k-1}x_k + p_{k-1}) + a_kx_k + b_kx_{k+1} = g_k$$

Получаем рекуррентную зависимость:

$$x_k = -\frac{b_k}{c_{k-1}q_{k-1} + a_k}x_{k+1} + \frac{g_k - c_{k-1}p_{k-1}}{c_{k-1}q_{k-1} + a_k} = q_kx_{k+1} + p_k$$

$$q_k = -\frac{b_k}{c_{k-1}q_{k-1} + a_k}, \quad p_k = \frac{g_k - c_{k-1}p_{k-1}}{c_{k-1}q_{k-1} + a_k}, \quad k = 2 \dots n-1$$

Из двух последних уравнений получаем:  $x_n = \frac{g_n - c_{n-1}p_{n-1}}{c_{n-1}q_{n-1} + a_n}$

Алгоритм:

Прямой ход прогонки:

$$q_1 = -\frac{b_1}{a_1}, \quad p_1 = \frac{g_1}{a_1} \Rightarrow q_k = -\frac{b_k}{c_{k-1}q_{k-1} + a_k}, \quad p_k = \frac{g_k - c_{k-1}p_{k-1}}{c_{k-1}q_{k-1} + a_k}, \quad k = 2 \dots n-1$$

Обратный ход прогонки:

$$x_n = \frac{g_n - c_{n-1}p_{n-1}}{c_{n-1}q_{n-1} + a_n} \Rightarrow x_k = q_kx_{k+1} + p_k, \quad k = 1 \dots n-1$$

## 4. Результаты.

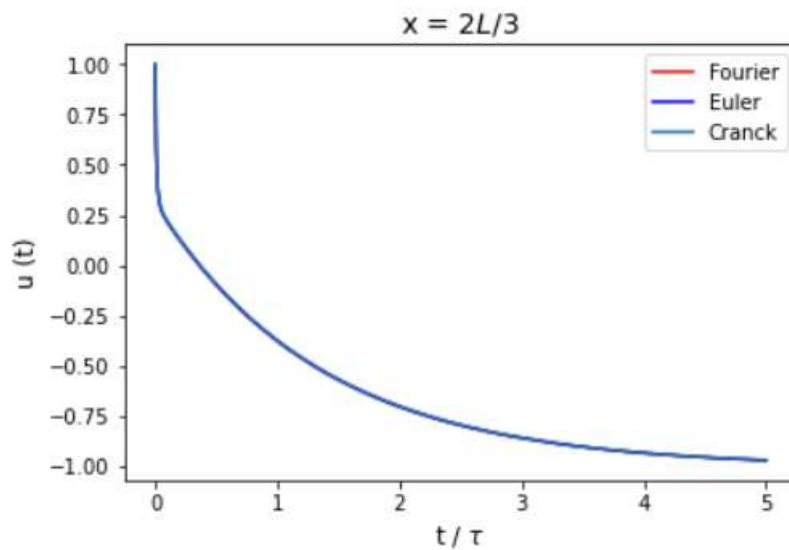
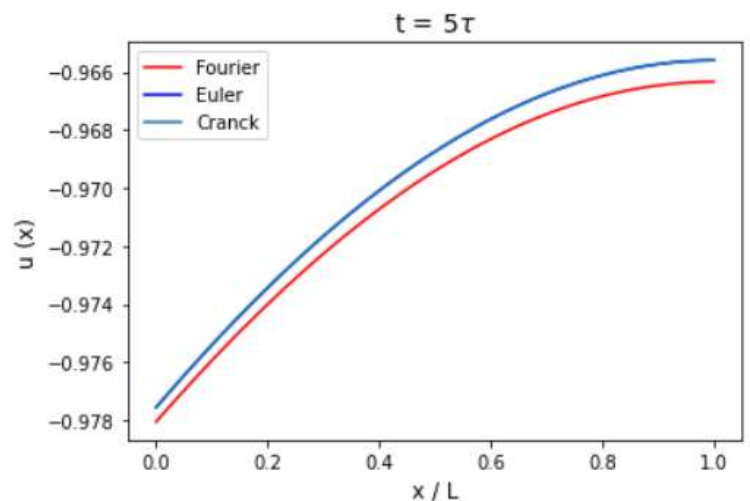
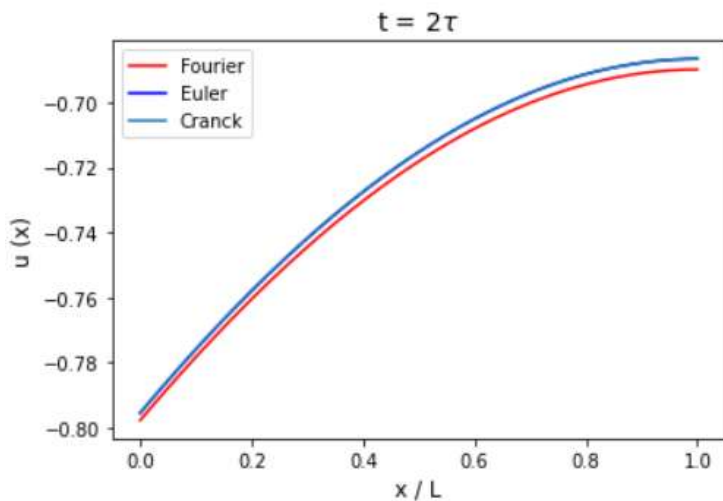
### 4.1.

Параметры:  $n_x$  - шаги по координате,  $n_t$  - шаги по времени (в  $5\tau$ ),  $dx = \frac{1}{n_x}$  и  $dt = \frac{5}{n_t}$  - соответствующие значения шагов.

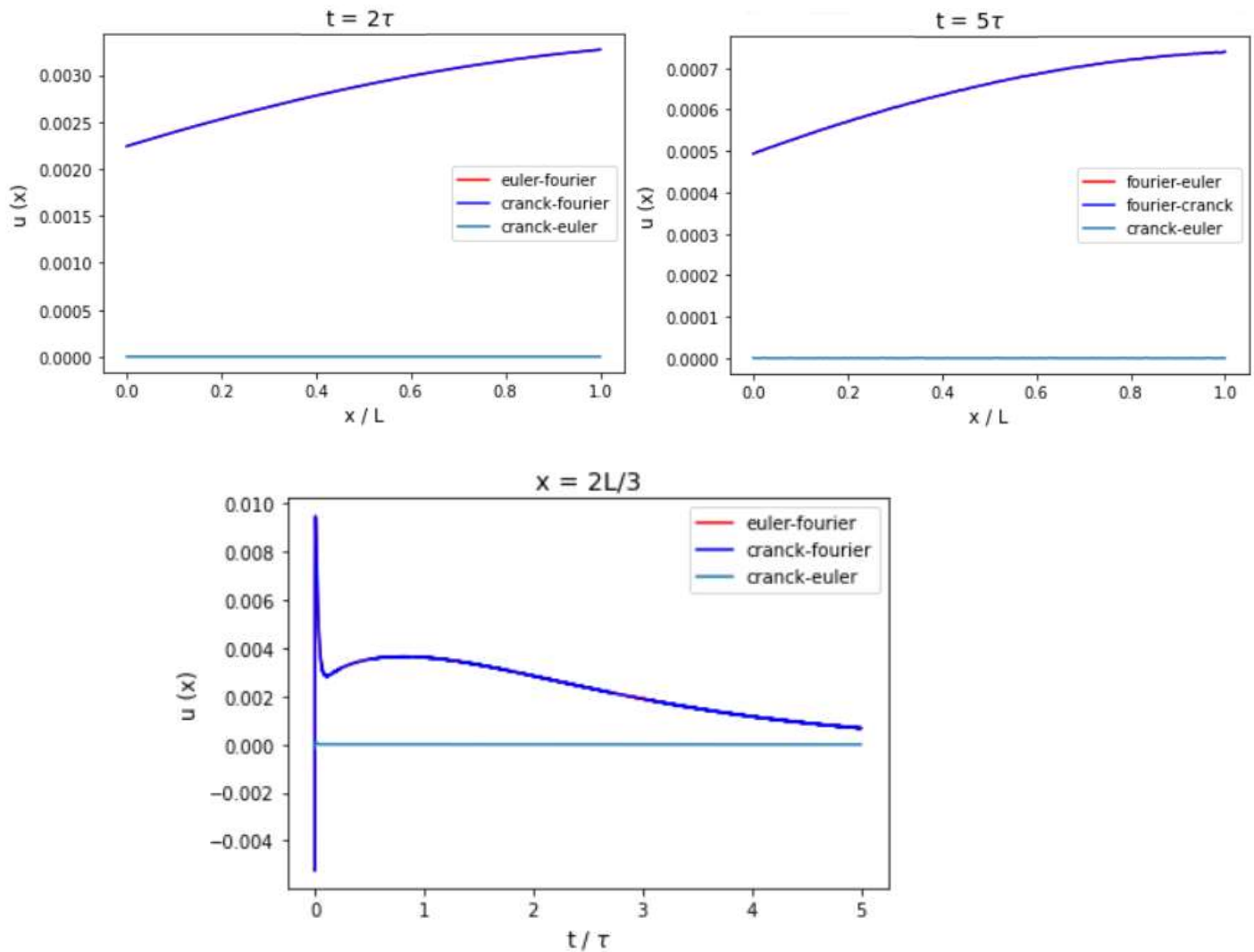
$n_x = 250$ ,  $n_t = 1.25 \cdot 10^6$ ,  $dx = 0.004$ ,  $dt = 4 \cdot 10^{-6}$  - для всех методов.

- Метод Фурье:

Наибольшее количество членов ряда:  $N=50$ , точность вычисления собственных значений  $\varepsilon_\lambda = 2 \cdot 10^{-6}$ .



- Разность результатов:



Наибольшее различие результатов лежит в пределах заданной погрешности:  $\varepsilon \sim 0.01$ . По всем графикам разностей видно, что результаты, полученные методами Эйлера и Кранка, практически неразличимы, а результат суммирования ряда Фурье лежит ниже их. Как можно видеть по графику для  $x = 2l/3$ , наибольшая погрешность достигается для  $t$  в окрестности нуля, как было показано в 1.2.

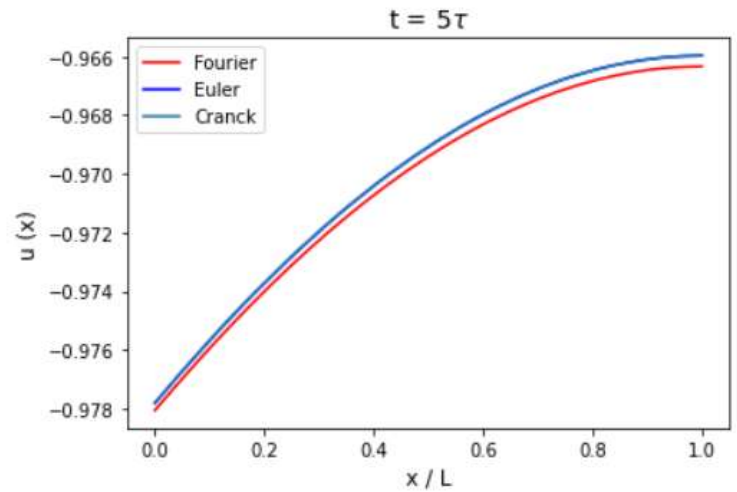
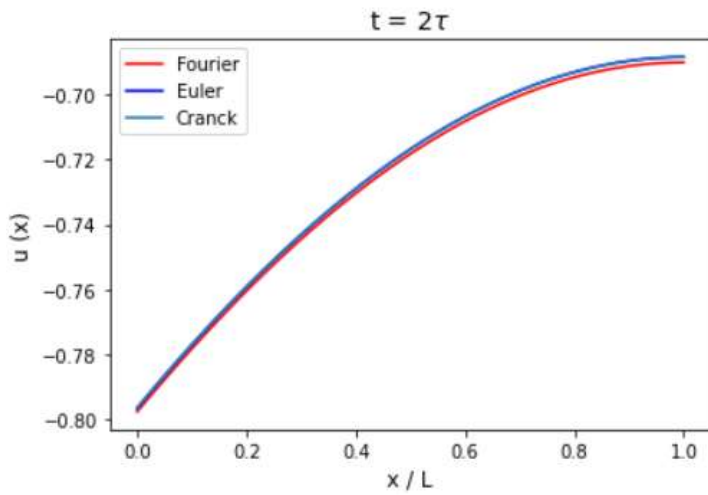
Для увеличения точности вычислений в фиксированных  $t = 2\tau; 5\tau$  можно увеличить значение  $n_x$ . Соответственно, увеличится и значение  $n_t$  (см. метод Эйлера). Для уменьшения ошибки вычисления в точке  $x = 2l/3$  увеличим количество суммирований ряда Фурье (п. 1.2).

## 4.2.

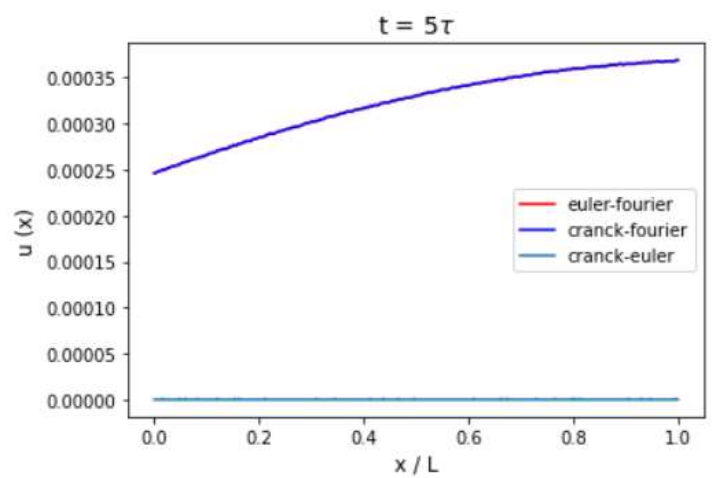
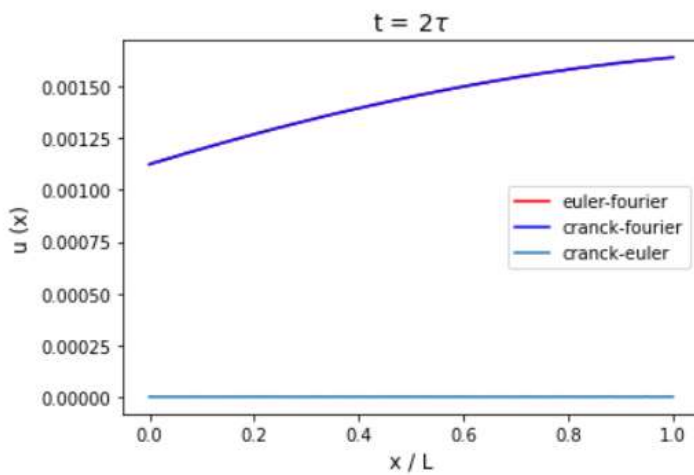
Параметры:  $n_x = 500$ ,  $n_t = 5 \cdot 10^6$ ,  $dx = 0.002$ ,  $dt = 10^{-6}$  - для всех методов.

- Метод Фурье:

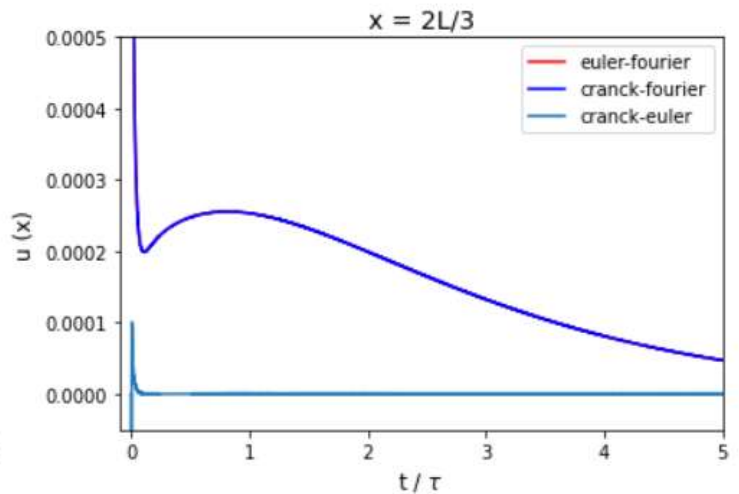
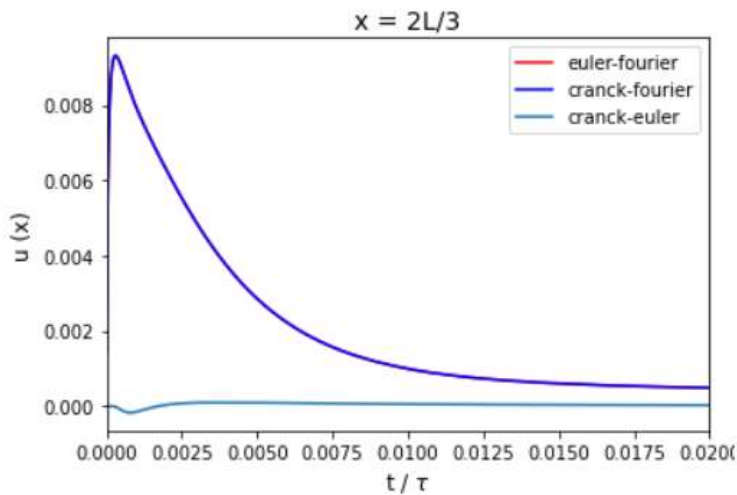
Наибольшее количество членов ряда:  $N=100$ , точность вычисления собственных значений  $\varepsilon_\lambda = 0.5 \cdot 10^{-6}$ .



- Разность результатов:



Различие результатов расчета в фиксированном  $t$  уменьшилось в 2 раза по сравнению с предыдущим набором параметров.



Погрешность расчета методом Фурье в окрестности  $t = 0$  практически не изменилась, а при удалении от неё ( $t/\tau > 0.01$ ) уменьшилась в  $\sim 20$  раз. Это может быть связано с отсутствием сходимости анализируемого ряда при  $t = 0$  в 1.2.

## Вывод.

Все полученные результаты совпадают в пределах заданных погрешностей.

Для случаев  $t = 2\tau$  и  $5\tau$  графики решения методом Эйлера и Кранка почти неразличимы (что и ожидалось, т.к. оба метода основаны на аппроксимации оператора  $\frac{d^2}{dx^2}$  и решении линейных уравнений), в то же время решение методом Фурье находится немного ниже их. Т.к. метод Фурье построен с точностью порядка  $\sim 10^{-8}$  (см. п. 1.2, остатки ряда), а разница между графиками порядка  $10^{-3}$ , то неточными являются результаты полученные методом Эйлера и Кранка. Т.к. решения методом Эйлера и Кранка при фиксированном  $t$  почти совпадают (с точностью до  $\sim 10^{-6}$ ) то нужно уменьшить  $dx$ , и, следовательно,  $dt$  – п. 4.1. Уменьшение ошибки оказалось пропорциональным уменьшению шага.

Было также получено, что уменьшение  $dt$  и увеличение количества членов ряда Фурье ( $N$ ) уменьшают ошибку при  $t/\tau > 0.01$ . Ошибка в окрестности центра не уменьшается при увеличении  $N$ , это является следствием плохой сходимости ряда. Для таких значений  $t$  лучше использовать другие методы, а не вычисление ряда Фурье.

В ходе работы была найдена граница устойчивости метода Эйлера ( $dt$ ): при  $dt \leq 0.5 \cdot (dx)^2$  решение является устойчивым. При  $dt > 0.5 \cdot (dx)^2$  решение неустойчиво, что подтверждает верность наших оценок.

Было замечено, что быстрее всего (при равном количестве пространственных и временных шагов) считает метод Фурье, затем метод Эйлера, и метод Кранка-Николсона. Это можно объяснить тем, что в методе Фурье максимальная сложность вычисления во вложенном цикле  $\sim Nn_t$ , где  $N$  - число суммирований,  $n_t$  - число временных шагов. В методе Эйлера сложность  $\sim n_t n_x$ , так как на каждом шаге есть умножение трехдиагональной матрицы на вектор, и наконец в методе Кранка  $\sim 8n_t n_x$ , так как на каждом шаге система решается методом прогонки (п. 3.1).